

УДК 698.35

Е. К. Грудяева, С. Е. Душин

Санкт-Петербургский государственный электротехнический университет «ЛЭТИ» им. В. И. Ульянова (Ленина)

## Исследование математической модели Кенейла в технологическом процессе очистки сточных вод

Рассмотрены особенности математической модели Кенейла, описывающей пищевые цепи при биологической очистке. Представлены результаты исследования биохимических процессов в биореакторе, полученные с помощью компьютерного моделирования в программной среде Matlab/Simulink.

### Математическая модель, активный ил, модель Кенейла, концентрация, пищевая цепь

Проблема очистки сточных вод возникла еще в древности, однако и по сей день не решена в полной мере. В настоящее время широко применяется биологический способ очистки воды с помощью активного ила. Для достижения наилучшего качества очистки стоков необходимо эффективное управление технологическим процессом, что невозможно без понимания закономерностей процессов, лежащих в основе. На сегодняшний день известно более 20 математических моделей, которые позволяют в той или иной степени описать эти закономерности. Среди них модели Моно, Герберта, Халдейна, Вавилина и др. Возникает задача выбора и исследования достаточно адекватной, но в то же время не слишком сложной модели для целей управления.

Одной из моделей, отвечающей поставленным требованиям, является модель Кенейла. Эта модель учитывает постоянный приток сточных вод на входе биореактора и зависимость концентрации простейших от концентрации бактерий и субстрата [1]–[3].

При составлении модели принимались следующие ограничения и допущения:

- подача субстрата в резервуар биореактора – непрерывная;

- состав активного ила образуется совокупностью биоценозов чистых культур бактерий и простейших;

- влияние температуры на удельные скорости роста, изменение скорости подачи кислорода, а также эффект насыщения простейших отсутствуют;

- процесс отмирания бактерий и простейших не учитывается;

- отсутствует обратная подача активного ила в реактор, т. е. рециркуляция не учитывается.

Математическая модель процесса роста бактерий и простейших вследствие поглощения субстрата может быть представлена системой нелинейных дифференциальных уравнений вида

$$\begin{aligned} \frac{dx_1}{dt} &= \frac{x_{1\text{ВХ}} - x_1}{T} - \frac{\mu_m x_1 x_2}{Y(k_1 + x_1)}, \\ \frac{dx_2}{dt} &= -\frac{x_2}{T} + \frac{\mu_m x_1 x_2}{k_1 + x_1} - \frac{f_m x_2 x_3}{g(k_2 + x_2)}; \\ \frac{dx_3}{dt} &= -\frac{x_3}{T} + \frac{f_m x_2 x_3}{k_2 + x_2}, \end{aligned} \quad (1)$$

где  $x_1$ ,  $x_2$  и  $x_3$  – концентрации субстрата, бактерий и простейших соответственно;  $x_{1\text{ВХ}}$  – постоянная концентрация субстрата на входе;  $Y$ ,  $g$  – экономические коэффициенты бактерий и простейших;  $\mu_m$ ,  $f_m$  – максимальные удельные скорости роста бактерий и простейших;  $k_1$ ,  $k_2$  – константы полунасыщения, равные концентрации субстрата, при которых скорость процесса равна  $\mu_m/2$  и  $f_m/2$  соответственно;  $T$  – период аэрации или время контакта составляющих.

Модель (1) может быть приведена к безразмерному виду, если ввести переменные:  $x = x_1 / x_{1\text{ВХ}}$ ;  $y = x_2 / x_{1\text{ВХ}} Y$ ;  $z = x_3 / x_{1\text{ВХ}} Y g$ ;  $\tau = Qt / V = t / T$ ;  $A = \mu_m T$ ;  $B = f_m T$ ;  $C = k_1 / x_{1\text{ВХ}}$ ;  $D = k_2 / x_{1\text{ВХ}} Y$ , где  $Q$  – объемный расход;  $V$  – объем.

В результате преобразований уравнений (1) получается подобная модель вида

$$\begin{aligned} \frac{dx}{d\tau} &= 1 - x - A \frac{x}{C+x} y; \\ \frac{dy}{d\tau} &= A \frac{x}{C+x} y - y - B \frac{y}{D+y} z; \\ \frac{dz}{d\tau} &= B \frac{y}{D+y} z - z. \end{aligned} \quad (2)$$

Введем обозначение  $\varphi = x + y + z$ . Тогда в соответствии с уравнениями (2) можно получить  $\frac{d\varphi}{d\tau} = \frac{dx}{d\tau} + \frac{dy}{d\tau} + \frac{dz}{d\tau} = 1 - \varphi$ . Решение полученного дифференциального уравнения имеет вид  $\varphi = 1 - (1 - \varphi_0)e^{-\tau}$ , где  $\varphi_0 = x_0 + y_0 + z_0$  – начальное значение. Следовательно, для любого начального состояния  $(x_0, y_0, z_0)$  при  $\tau \rightarrow \infty$  решение  $\varphi(\tau)$  стремится к 1.

Таким образом, все траектории, независимо от начальных условий, будут асимптотически приближаться к поверхности (плоскости)  $\psi = \varphi - 1 = 0$ , представляющей собой притягивающее многообразие (аттрактор). Это означает, что процесс биологического роста на начальной стадии развивается в сторону асимптотического приближения к многообразию  $\psi$ , а на заключительной стадии эволюционирует вдоль многообразия, «застывая» в устойчивой точке либо уходя в бесконечность. Все особые точки принадлежат этому многообразию.

Система уравнений (2) приводится к следующему виду:

$$\begin{aligned} x &= 1 - y - z; \\ \frac{dy}{d\tau} &= A \frac{(1 - y - z)}{C + 1 - y - z} y - y - B \frac{y}{D + y} z; \\ \frac{dz}{d\tau} &= B \frac{y}{D + y} z - z. \end{aligned}$$

Представленная модель имеет несколько точек равновесия  $(x_p, y_p, z_p)$ , принадлежащих плоскости  $\psi$ , значения координат которых сведены в таблицу. Их анализ показал следующее.

Состояние равновесия № 3 может быть устойчивым, остальные – неустойчивы. Состояние равновесия № 4 физически не осуществимо, поскольку концентрации субстрата и компонентов ила не могут быть отрицательными.

Если скорость роста культуры будет недостаточно высокой и при этом время нахождения культуры в питательной среде – достаточно низким, то необходимая для проведения биохимической реакции концентрация культуры не будет достигнута и произойдет вымывание культуры из реактора. Поэтому на соотношение времени аэрации и максимальных удельных скоростей роста компонентов активного ила налагается ряд условий:

- 1)  $A > 1$  для состояния равновесия № 2;
- 2)  $B > 1$  для состояния равновесия № 3.

Если входная концентрация субстрата равна начальному значению, то в процессе потребления субстрата бактериями их популяция исчезнет из-за недостатка питания ( $x_1 < x_{1ВХ}$ ). В дополнение к этому очевидному условию количество субстрата на входе биореактора должно удовлетворять неравенству  $Ay_p + C \geq 1$  для достижения состояния равновесия № 3.

Номер точки равновесия	Координаты точки равновесия			Особенности точки равновесия
	$x_p$	$y_p$	$z_p$	
1	1	0	0	
2	$\frac{C}{A-1}$	$1 - x_p$	0	
3	$-0,5(Ay_p + C - 1) + 0,5\sqrt{(Ay_p + C - 1)^2 + 4C}$	$\frac{D}{B-1}$	$1 - x_p - y_p$	
4	$-0,5(Ay_p + C - 1) - 0,5\sqrt{(Ay_p + C - 1)^2 + 4C}$			

В зависимости от соотношений входной концентрации субстрата и параметров  $A, B, C, D$  тип особой точки, соответствующей состоянию равновесия № 3, может быть различным.

На тип особой точки влияют знаки дискриминанта характеристического полинома  $D_{x,п}$ , определителя  $\det \mathbf{J}$  и следа  $\text{tr} \mathbf{J}$  соответствующей характеристической матрицы  $\mathbf{J}$ . Это влияние отражено на бифуркационной диаграмме (рис. 1). Область 1 на рис. 1 представляет собой область седел; 2 – область устойчивых узлов; 3 – область вырожденных устойчивых узлов; 4 – область устойчивых фокусов; 5 – область центров; 6 – область неустойчивых фокусов; 7 – область вырожденных неустойчивых узлов; 8 – область неустойчивых узлов. Характеристическая матрица  $\mathbf{J}$  имеет вид

$$\mathbf{J} = \begin{bmatrix} s - \left( \frac{A(x_p^2 + Cx_p - Cy_p)}{(C + x_p)^2} - 1 - \frac{BDz_p}{(D + y_p)^2} \right) - \frac{ACy_p}{(C + x_p)^2} - \frac{By_p}{D + y_p} & \\ \frac{BDz_p}{(D + y_p)^2} & s - \left( \frac{By_p}{D + y_p} - 1 \right) \end{bmatrix}.$$

Характеристики  $D_{x,п}$ ,  $\det \mathbf{J}$ ,  $\text{tr} \mathbf{J}$  можно выразить с помощью координат точки равновесия № 3. Введем обозначение

$$k = -(AD + C(B - 1) - B + 1) + \sqrt{(AD + C(B - 1) - B + 1)^2 + 4C(B - 1)^2}.$$

Тогда определитель характеристической матрицы записывается следующим образом:

$$\det \mathbf{J} = \left( \frac{ACD(B - 1)}{(C(B - 1) + 0,5k)^2} + 1 \right) \times \frac{(B - 1 - 0,5k - D)(B - 1)}{BD}.$$

След характеристической матрицы выражается так:

$$\text{tr} \mathbf{J} = \frac{0,25k^2 + (0,5Ck - CD)(B - 1)}{(C(B - 1) + 0,5k)^2} - 1 - \frac{(B - 1 - 0,5k - D)(B - 1)}{BD}.$$

Дискриминант характеристического полинома имеет вид

$$D_{x,п} = \left( \frac{0,25k^2 + (0,5Ck - CD)(B - 1)}{(C(B - 1) + 0,5k)^2} - 1 - \frac{(B - 1 - 0,5k - D)(B - 1)}{BD} \right)^2 - 4 \left( \frac{ACD(B - 1)}{(C(B - 1) + 0,5k)^2} + 1 \right) \times \frac{(B - 1 - 0,5k - D)(B - 1)}{BD}.$$

Определитель характеристической матрицы будет положительным, т. е. особая точка не является седлом, при одновременном удовлетворении всех следующих условий:  $A > 1$ ,  $B > 1$ ,  $C < C_{\det}$ ,

$$D < D_{\det}, \quad \text{где} \quad C_{\det} = \frac{AB - AD - A - B + 1}{B - 1},$$

$$D_{\det} = \frac{AB - A - B + 1}{A}.$$

Для того чтобы след  $\text{tr} \mathbf{J} = 0$ , должны одновременно выполняться следующие условия:  $A > 2$ ,  $B = B_{\text{tr}}$ ,  $C < C_{\text{tr}}$ ,  $D = D_{\text{tr}}$ , где  $B_{\text{tr}} = A - 1$ ,

$$C_{\text{tr}} = A - 1, \quad D_{\text{tr}} = \frac{A^2 - AC - 3A + 2C + 2}{A(A - 1)}.$$

Проанализируем поведение модели на примере пищевой цепочки «азот – бактерии-нитрификаторы – хищники», имеющей следующие характеристики:  $\mu_m = 0,69 \text{ сут}^{-1}$ ;  $f_m = 2,0 \text{ сут}^{-1}$ ;  $x_{1\text{ВХ}} = 20 \text{ мг/л}$ ;  $T = 10 \text{ сут}$ ;  $k_1 = 9,7 \text{ мг/л}$ ;  $Y = 27,17 \text{ мг/г}$ ;  $g = 1,3 \text{ мг/г}$  [4]. В результате преобразований коэффициентов получим:  $A = 6,9$ ,  $B = 20$ ,  $C = 0,485$ ,  $D = 0,276$ ,  $\det \mathbf{J} = 3,46$ ,  $\text{tr} \mathbf{J} = 0,18$ ,  $D_{x,п} = -13,82$ .

Состояние равновесия в этом случае находится в области 6 – неустойчивых фокусов (рис. 1). При этом наблюдаются периодические незатухающие колебания (рис. 2). Такой характер процессов не желателен, поскольку субстрат практически не удаляется. Точка равновесия имеет координаты (0,93; 0,01; 0,05), фазовые траектории образуют предельный цикл (рис. 3).

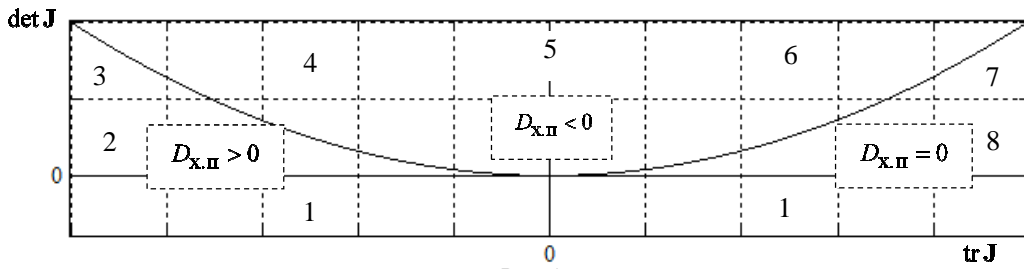


Рис. 1

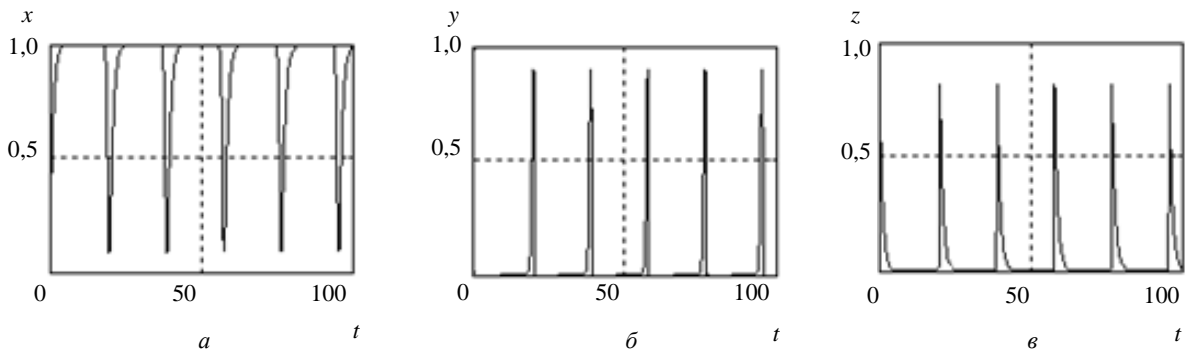


Рис. 2

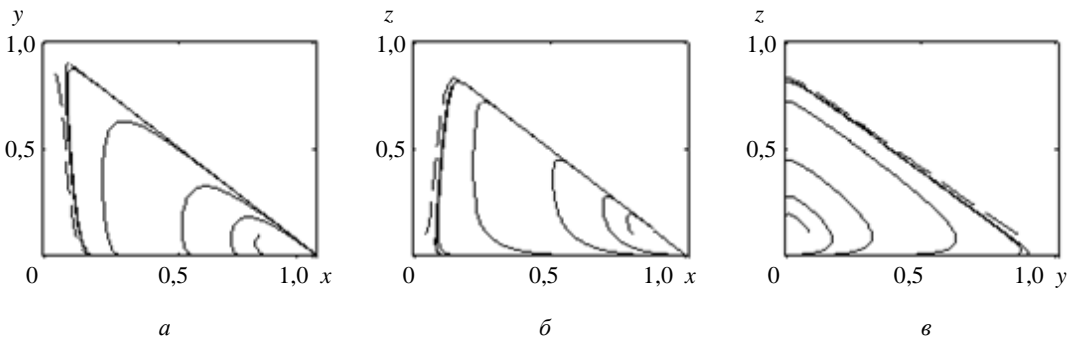


Рис. 3

Поскольку соотношения параметров модели могут быть различными, допустим, что максимальная удельная скорость роста организмов уменьшилась, например из-за снижения температуры, тогда  $A=3, B=2$ . Состояние равновесия в этом случае находится в области 4 – устойчивых фокусов. Точка равновесия имеет координаты  $(0,55; 0,27; 0,16)$ . Соответствующее поведение системы представлено графиками переходных процессов (рис. 4) и фазовыми траекториями, стремящимися к аттрактивной плоскости  $\psi$  и образующими на ней предельный цикл и устойчивый фокус (рис. 5). Характер переходных процессов становится колебательным затухающим, очистка – более эффективной, поскольку в данном случае популяция хищников позволяет вырасти популяции бактерий, необходимой для поглощения субстрата.

Рассмотрим случай, когда  $A=6,9, B=1,6$ , например в результате влияния ингибиторов на хищников. Состояние равновесия в этом случае попадает в область 2 – устойчивых узлов. Коор-

динаты точки равновесия  $(0,17; 0,46; 0,37)$ . Характер переходных процессов становится аperiодическим затухающим (рис. 6), на фазовой плоскости траектории сходятся к состоянию равновесия (рис. 7). При данных параметрах системы концентрация бактерий и простейших выше, чем в двух предыдущих случаях, следствием чего является снижение загрязнений.

Проанализируем характер поведения системы в зависимости от влияния входной концентрации субстрата  $x_{1\text{вх}}$ . Увеличение субстрата на входе приводит к тому, что период колебаний растет и превалирующим состоянием системы во времени становится то, при котором субстрат практически равен входному, а концентрация бактерий и простейших близка к нулю. Данный режим свидетельствует о том, что система очистки не справляется с загрязнениями на входе. При снижении субстрата на входе состояние равновесия смещается из области 6 в область 4, характер процессов

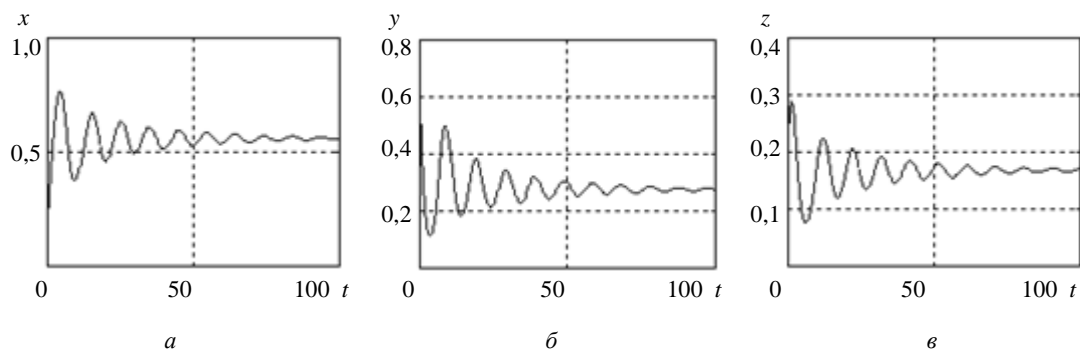


Рис. 4

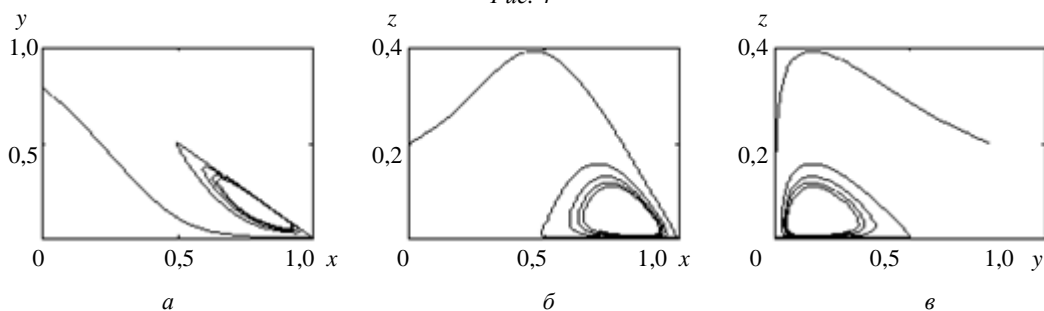


Рис. 5

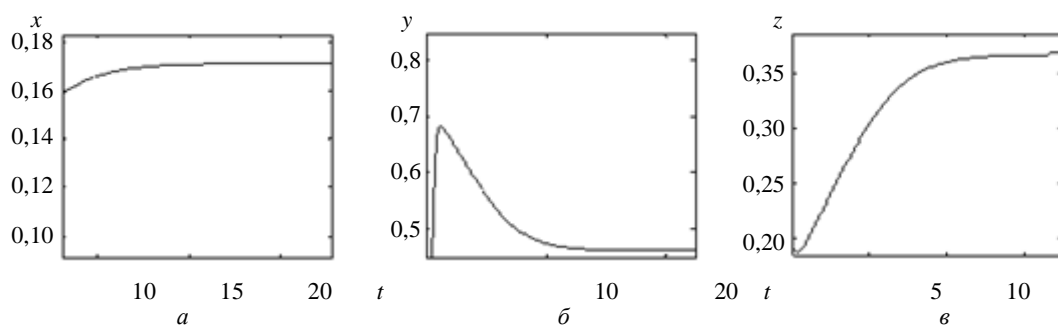


Рис. 6

становится аналогичным изображенному на рис. 2. Точка равновесия смещается в область устойчивых фокусов, а характер переходных процессов становится колебательным затухающим.

Дальнейшее снижение субстрата на входе приводит к тому, что состояние равновесия переходит в область 2, характер процессов аналогичен графикам, представленным на рис. 4. Состояние равновесия переходит в область устойчивых узлов, наблюдаются аperiodические затухающие процессы. Различие состоит в том, что в данном случае количество субстрата на входе не позволяет вырасти популяции бактерий, поэтому очистка происходит неэффективно. Отметим, что концентрация простейших уменьшается вплоть до устойчивого равновесного состояния в силу недостаточной поступающей входной концентрации субстрата, которая не может обеспечить увеличение популяции бактерий до числа, необходимого для роста популяции простейших.

В частном случае, когда в системе отсутствуют бактерии или простейшие, получаются состояния равновесия № 1 и 2. На рис. 8, а и б изображены фазовые траектории в окрестностях неустойчивых состояний равновесия № 1 и 2 соответственно. В пределах плоскости, в которой лежат траектории, состояния равновесия являются устойчивыми узлами.

Если начальная концентрация бактерий или простейших будет отлична от нуля, траектории попадут в состояние равновесия № 3.

Сравнивая поведение модели Моно [5] с поведением модели Кенейла, можно заметить, что последняя является более совершенной, поскольку учитывает состав активного ила, включающий бактерии и простейших, и может использоваться при моделировании более сложных пищевых цепей. Как и модель Моно, модель Кенейла имеет одно устойчивое состояние равновесия, а также

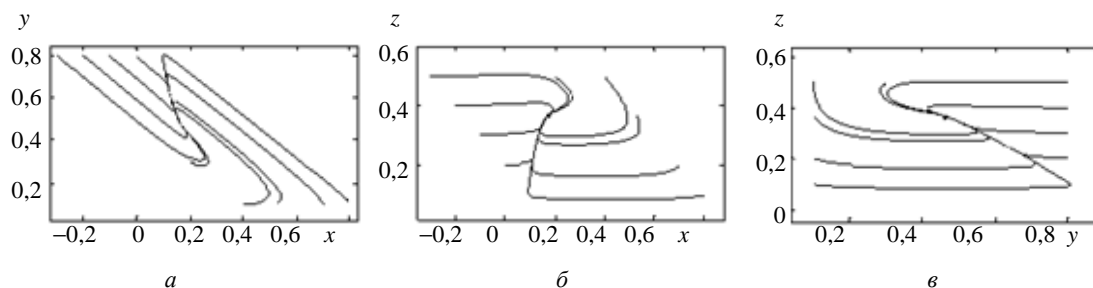


Рис. 7

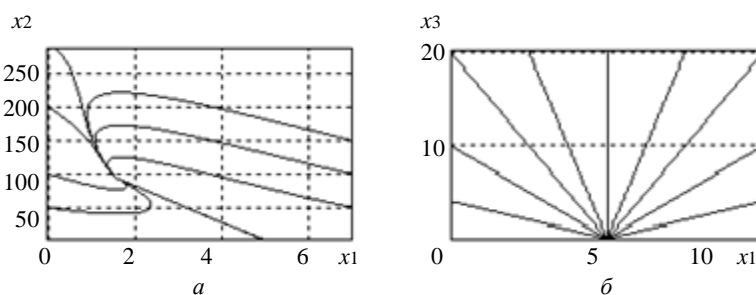


Рис. 8

требует обеспечения условия необходимого времени контакта составляющих пищевой цепи с субстратом. Кроме того, в отсутствие простейших модель Кенейла преобразуется к модели Моно.

Наилучшая очистка происходит в том случае, если состояние равновесия принадлежит области устойчивых узлов.

### СПИСОК ЛИТЕРАТУРЫ

1. Canale R. P. Predator-pray relationships in a model for activated process // *Biotech. Bioeng.* 1969. Vol. 11, № 5. P. 887–907.
2. Кафаров В. В., Седых Л. Г., Гарнаев А. Ю. Синтез оптимального управления очисткой сточных вод активным илом // *Докл. АН СССР.* 1988. Т. 303, № 4. С. 920–924.
3. Вавилин В. А., Васильев В. Б. Математическое моделирование процессов биологической очистки сточных вод активным илом. М.: Наука, 1979.
4. Хенце М., Армоэс П. Очистка сточных вод. Биологические и химические процессы. М: Мир, 2009.
5. Грудяева Е. К., Душин С. Е., Шолмова Н. Е. Анализ технологического процесса очистки сточных вод с мембранным биореактором // *Изв. СПбГЭТУ «ЛЭТИ».* 2013. № 5. С. 48–56.

E. K. Grudyaeva, S. E. Dushin  
Saint-Petersburg State Electrotechnical University «LETI»

### RESEARCH OF CANALE'S MATHEMATICAL MODEL AT TECHNOLOGICAL PROCESS OF WASTEWATER TREATMENT

*This article presents the results of the researches on the biochemical processes in a bioreactor using the Canale's mathematical model. Dynamic mathematical models of heat and mass exchange are presented. The results are received by computer simulation in a software tool Matlab/Simulink.*

**Mathematical model, activated sludge, Canale's model, concentration, food chain**